

Vorlesung
Geometrische Algorithmen

**Sichtbarkeitsgraphen und
kürzeste Wege**

Sven Schuierer

Überblick

- 1. Kürzeste Wege**
- 2. Sichtbarkeitsgraphen**
- 3. Berechnung des Sichtbarkeitsgraphen**
- 4. Kürzeste Wege für polygonale Roboter**

1 Kürzeste Wege

Vorlesung Bewegungsplanung:

Berechnung eines kollisionsfreien Weges

Andere Anforderungen:

- Geringe Länge
- Wenige Knicke
- Mindestkurvenradius

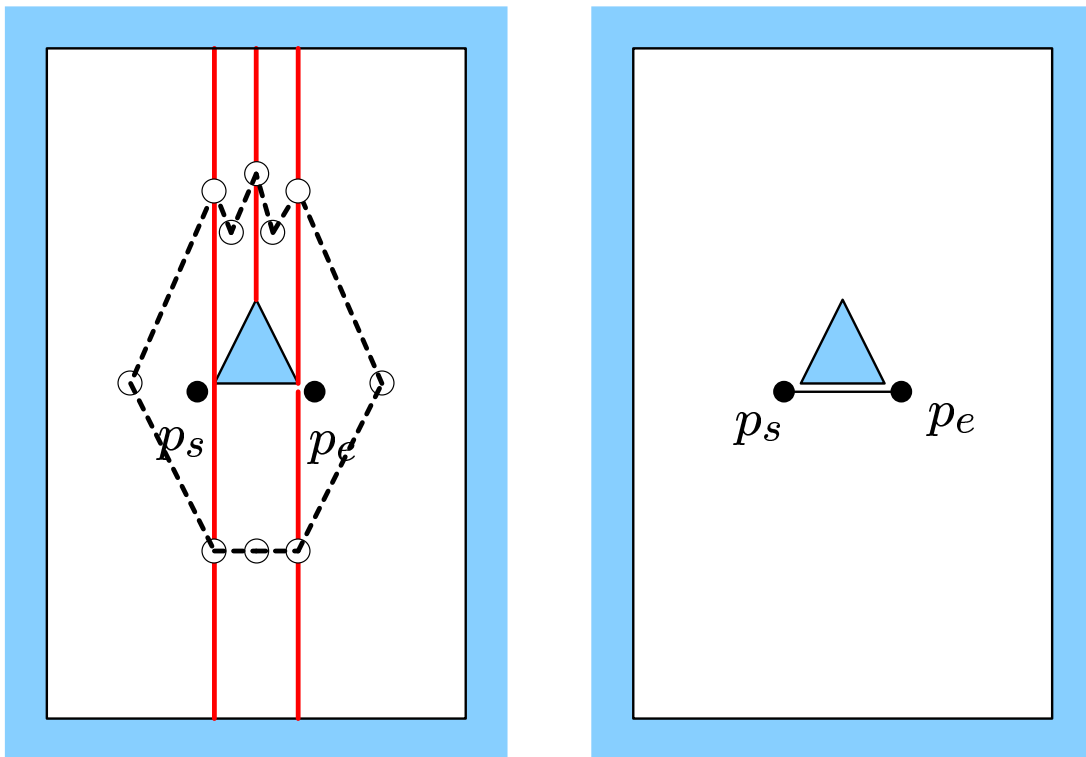
Kürzeste Wege für Punktroboter

Gegeben:

- Menge \mathcal{H} von disjunkten polygonalen (offenen) Hindernissen mit insgesamt n Kanten
- Startposition p_s , Zielposition p_e , beide in \mathcal{C}_{free}

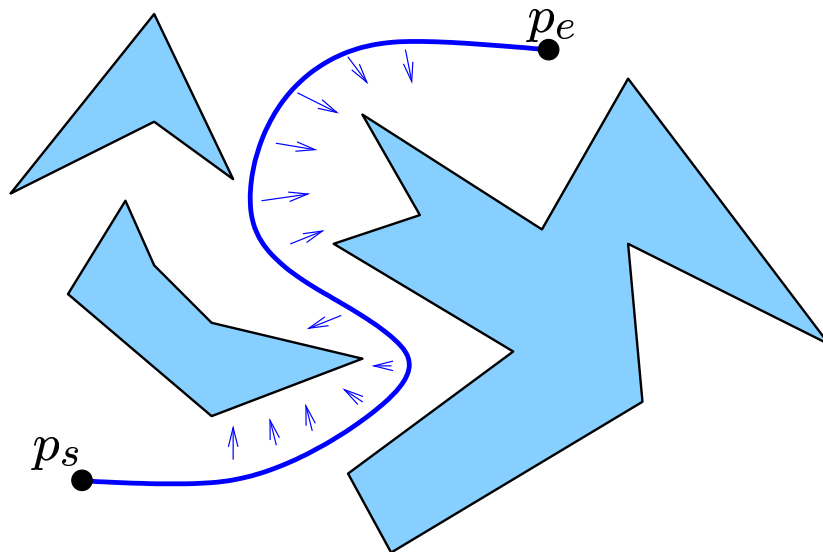
Gesucht:

Der **kürzeste Weg** von p_s nach p_e in \mathcal{C}_{free}



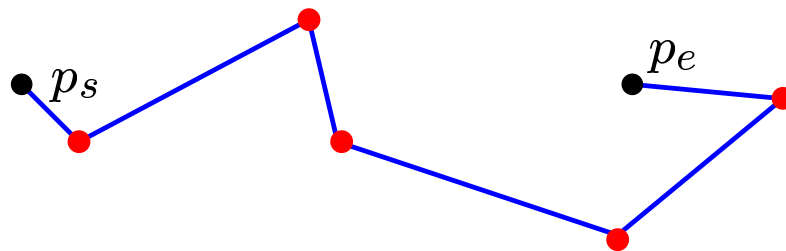
Eigenschaften kürzester Wege

Gummiband-Eigenschaft:



Definition

Sei W ein polygonaler Weg von p_s nach p_e .
Dann heißen die Ecken von W , die ungleich p_s
oder p_e sind, **innere Ecken** von W .



Eigenschaften kürzester Wege

Lemma

Jeder kürzeste Weg W von p_s nach p_e zwischen einer Menge \mathcal{H} von disjunkten polygonalen Hindernissen ist ein **polygonaler** Weg, dessen innere Ecken **Ecken von \mathcal{H}** sind.

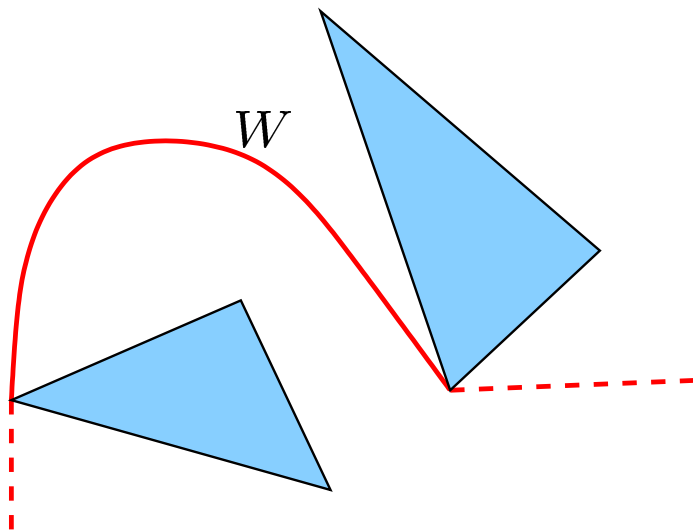
Beweis: :

Polygonalität:

Angenommen, W ist nicht polygonal

\Rightarrow Es gibt ein $p \in W$ im Inneren von \mathcal{C}_{free} ,
so daß kein Liniensegment in W p
enthält.

\Rightarrow Es gibt einen Kreis in \mathcal{C}_{free} , der p enthält



Eigenschaften kürzester Wege

Beweis: : (Fortsetzung)

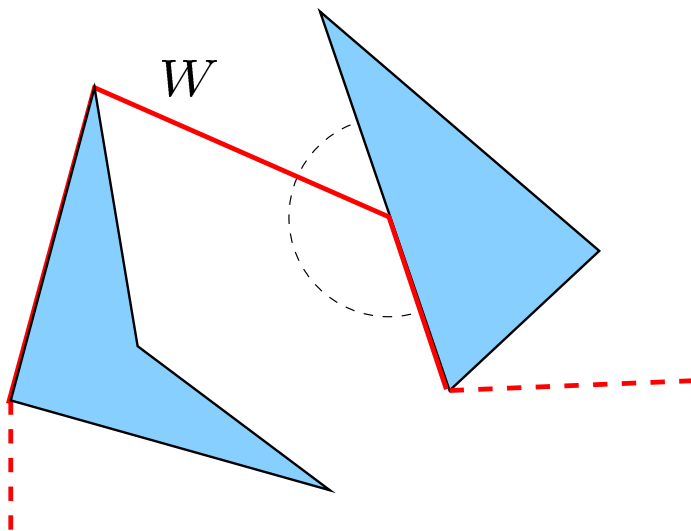
Ecke v von W :

Angenommen, v ist keine Ecke von \mathcal{H}

$\Rightarrow v$ ist nicht im Inneren von \mathcal{C}_{free}

$\Rightarrow v$ ist im Inneren einer Kante

\Rightarrow Es gibt einen Halbkreis in \mathcal{C}_{free} , der p enthält



Eigenschaften kürzester Wege

Korollar

Ein kürzester Weg von p_s nach p_e zwischen einer Menge \mathcal{H} von disjunkten polygonalen Hindernissen besteht aus:

1. Liniensegmenten von p_s bzw. p_e zu Ecken von \mathcal{H} und
2. Liniensegmenten von einer Ecke von \mathcal{H} zu einer anderen.

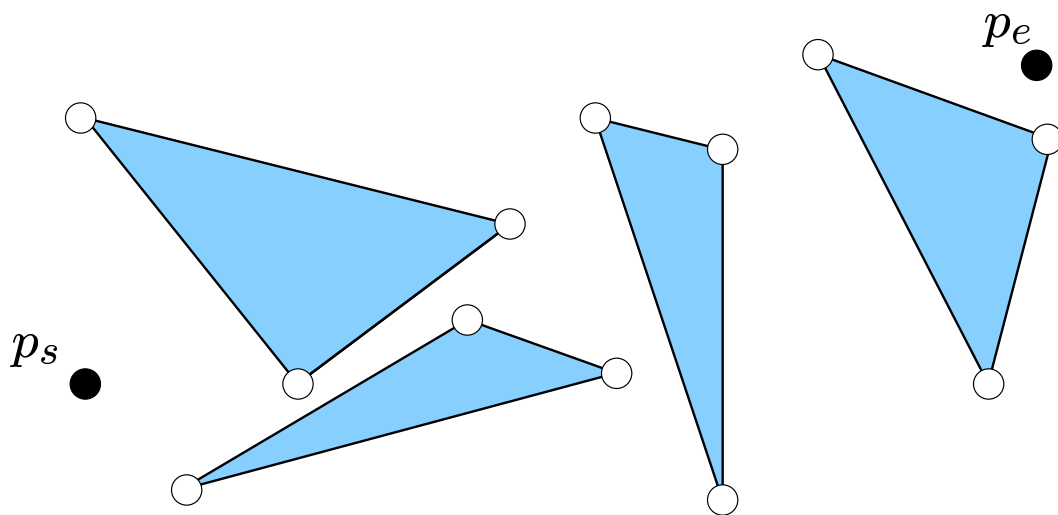
Definition

Zwei Punkte v_1 und v_2 heißen gegenseitig sichtbar, falls das Liniensegment $\overline{v_1v_2}$ nicht das Innere eines Hindernisses schneidet.

Sichtbarkeitsgraphen und kürzeste Wege

Korollar

Ein **kürzester Weg** von p_s nach p_e zwischen einer Menge \mathcal{H} von disjunkten polygonalen Hindernissen besteht aus **Kanten des Sichtbarkeitsgraphen $\mathcal{G}_{vis}(\mathcal{H}^*)$** , wobei $\mathcal{H}^* = \mathcal{H} \cup \{p_s, p_e\}$.



Berechnung kürzester Wege

Algorithmus *kürzesterWeg*

Input: Eine Menge \mathcal{H} von disjunkten polygonalen Hindernissen und zwei Punkte p_s und p_e in \mathcal{C}_{free}

Output: Der kürzeste kollisionsfreie Weg von p_s nach p_e

- 1 $\mathcal{G}_{vis} \leftarrow \text{Sichtbarkeitsgraph}(\mathcal{H} \cup \{p_s, p_e\})$
- 2 Gewichte jede Kante (u, v) in \mathcal{G}_{vis} mit der euklidischen Distanz von u nach v
- 3 Berechne einen kürzesten Weg W von p_s nach p_e in \mathcal{G}_{vis} mit dem Algorithmus von Dijkstra
- 4 Gebe W zurück

Analyse

3 Berechnung des Sichtbarkeitsgraphen

Naives Verfahren:

Algorithmus *Sichtbarkeitsgraph1*

Input: Eine Menge \mathcal{H} von disjunkten polygonalen Hindernissen

Output: Der Sichtbarkeitsgraph $\mathcal{G}_{vis}(\mathcal{H})$ von \mathcal{H}

- 1 $\mathcal{G}_{vis} \leftarrow (\mathcal{V}_{vis}, \mathcal{E}_{vis})$ mit
- 2 $\mathcal{V}_{vis} \leftarrow$ die Menge der Eckpunkte von \mathcal{H}
- 3 $\mathcal{E}_{vis} \leftarrow \emptyset$
- 4 **for all** $(u, v) \in \mathcal{V}_{vis} \times \mathcal{V}_{vis}$ **do**
- 5 **if** \overline{uv} schneidet kein Hindernis
- 6 **then** füge (u, v) zu \mathcal{E}_{vis} hinzu
- 7 Gebe $\mathcal{G}_{vis} = (\mathcal{V}_{vis}, \mathcal{E}_{vis})$ zurück

Berechnung des Sichtbarkeitsgraphen

Besserer Algorithmus:

Algorithmus *Sichtbarkeitsgraph2*

Input: Eine Menge \mathcal{H} von disjunkten polygonalen Hindernissen

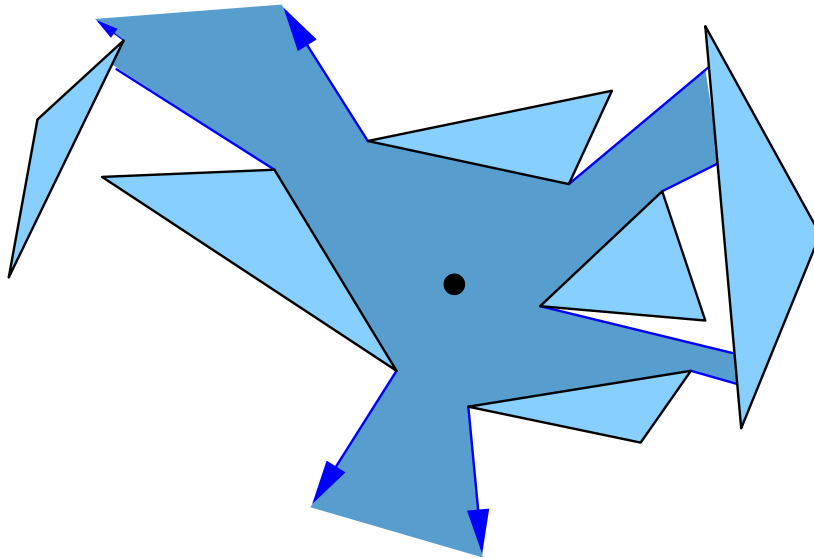
Output: Der Sichtbarkeitsgraph $\mathcal{G}_{vis}(\mathcal{H})$ von \mathcal{H}

- 1 $\mathcal{G}_{vis} \leftarrow (\mathcal{V}_{vis}, \mathcal{E}_{vis})$ mit
- 2 $\mathcal{V}_{vis} \leftarrow$ die Menge der Eckpunkte von \mathcal{H}
- 3 $\mathcal{E}_{vis} \leftarrow \emptyset$
- 4 **for all** $v \in \mathcal{V}_{vis}$ **do**
- 5 $W \leftarrow$ SichtbareEcken(v, \mathcal{H})
- 6 **for all** $w \in W$ **do**
- 7 füge die Kante (v, w) zu \mathcal{E}_{vis} hinzu
- 8 Gebe $\mathcal{G}_{vis} = (\mathcal{V}_{vis}, \mathcal{E}_{vis})$ zurück

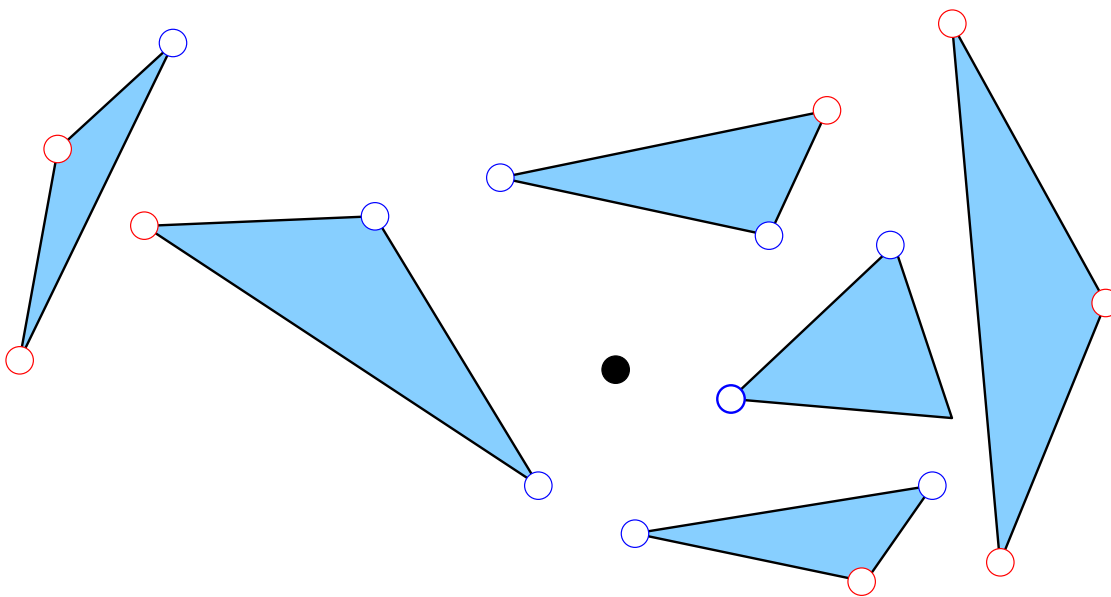
Sichtbarkeitspolygon

Definition

Die Menge der Punkte, die von einem Punkte p der Ebene aus sichtbar sind, heißt das **Sichtbarkeitspolygon** von p .



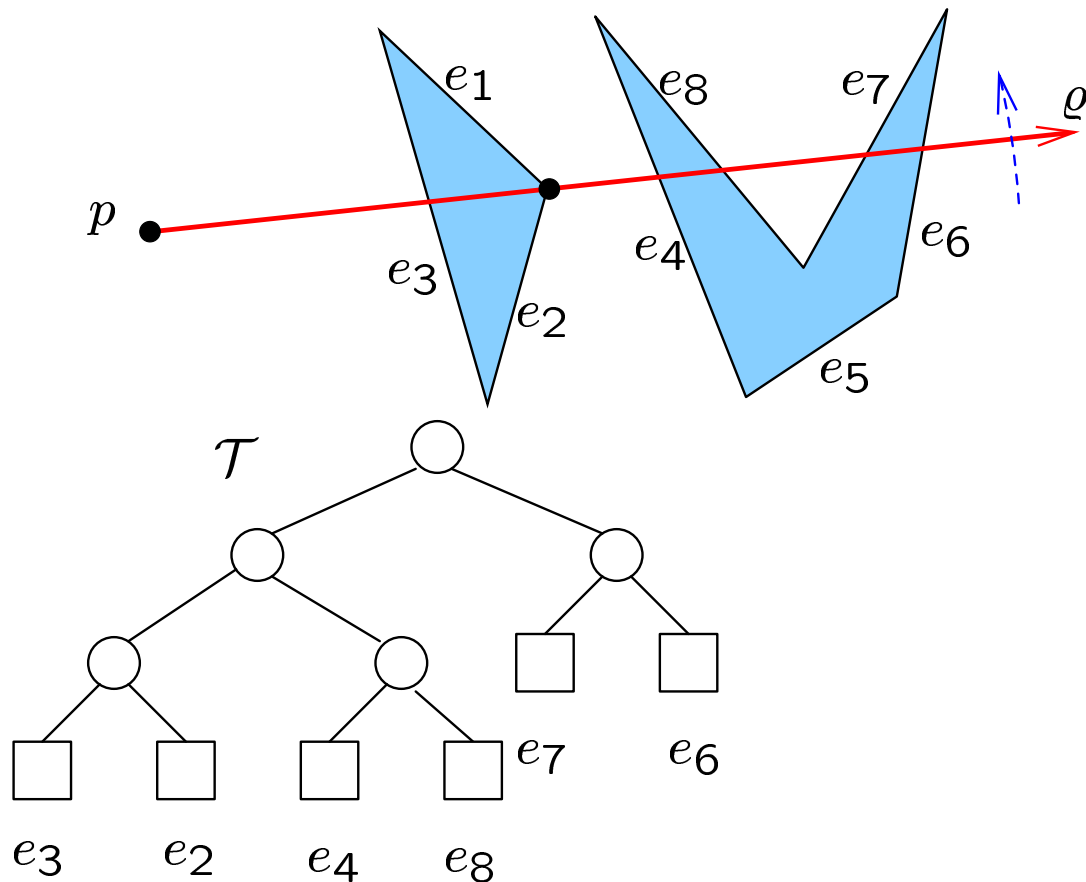
Hier: von p aus sichtbare Ecken



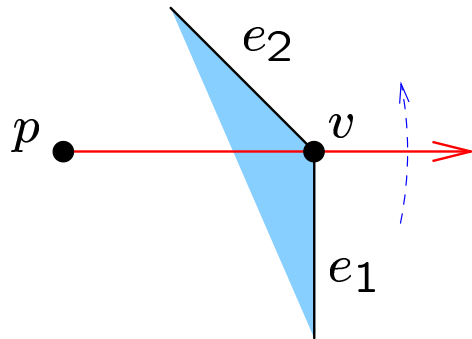
Berechnung der sichtbaren Ecken

Idee:

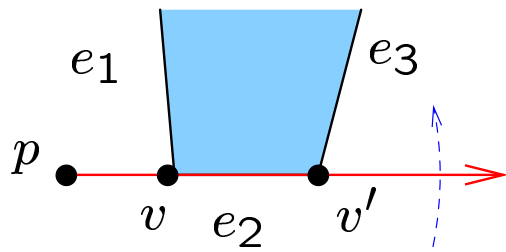
- Sortiere die Ecken zyklisch um p
- Betrachte die Ecken in dieser Reihenfolge mit Hilfe eines Scanstrahls ρ
- Verwalte die Kanten, die von ρ geschnitten werden, in einer Suchstruktur



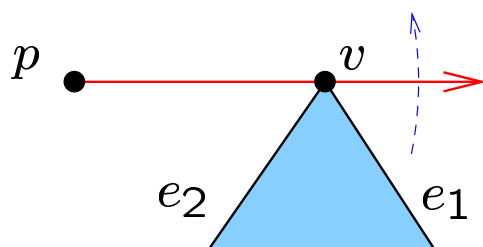
Rotationsweep Events



sichtbar(v)
delete(e1)
insert(e2)



sichtbar(v)
sichtbar(v')
insert(e1)
insert(e3)



sichtbar(v)
delete(e1)
delete(e2)

Sichtbare Ecken

Algorithmus *SichtbareEcken*

Input: Menge \mathcal{H} von Polygonen und Punkt p nicht im Innern eines Polygons

Output: Die von p aus sichtbaren Ecken in \mathcal{H}

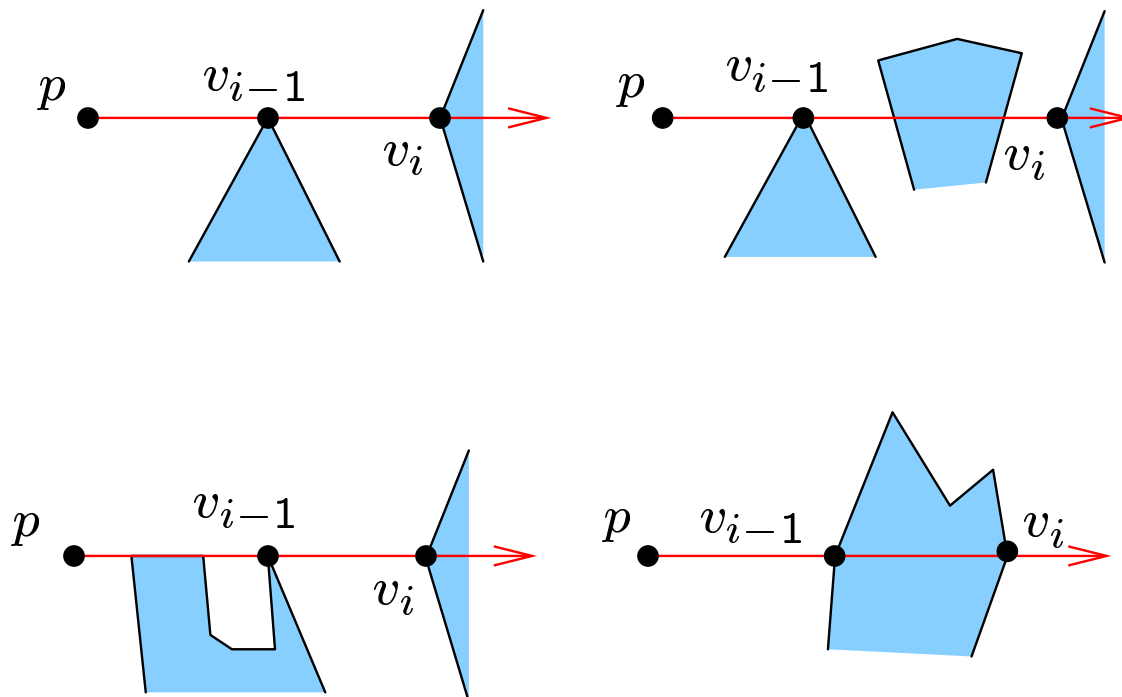
- 1 Sortiere die Ecken v nach $winkel(p, v)$ (im Fall gleicher Winkel nach Abstand zu p)
 $(v_1, \dots, v_n) \leftarrow$ sortierte Reihenfolge
- 2 Sei ρ der horizontale Strahl beginnend bei p
- 3 Finde alle Kanten e die ρ schneiden und speichere sie in einem Suchbaum \mathcal{T}
- 4 $W \leftarrow \emptyset$
- 5 **for** $i \leftarrow 1$ **to** n **do**
- 6 **if** $sichtbar(v_i)$
- 7 **then** $W \leftarrow W \cup \{v_i\}$
- 8 füge die zu v_i inzidenten Kanten links von ρ in \mathcal{T} ein
- 9 entferne die zu v_i inzidenten Kanten rechts von ρ aus \mathcal{T}
- 10 **return** W

Sichtbarkeit von Ecken

Sichtbarkeit von v_i ist abhängig von:

- Suchstruktur \mathcal{T}
- Ecke v_{i-1}

Verschiedene Fälle: v_{i-1} ist sichtbar

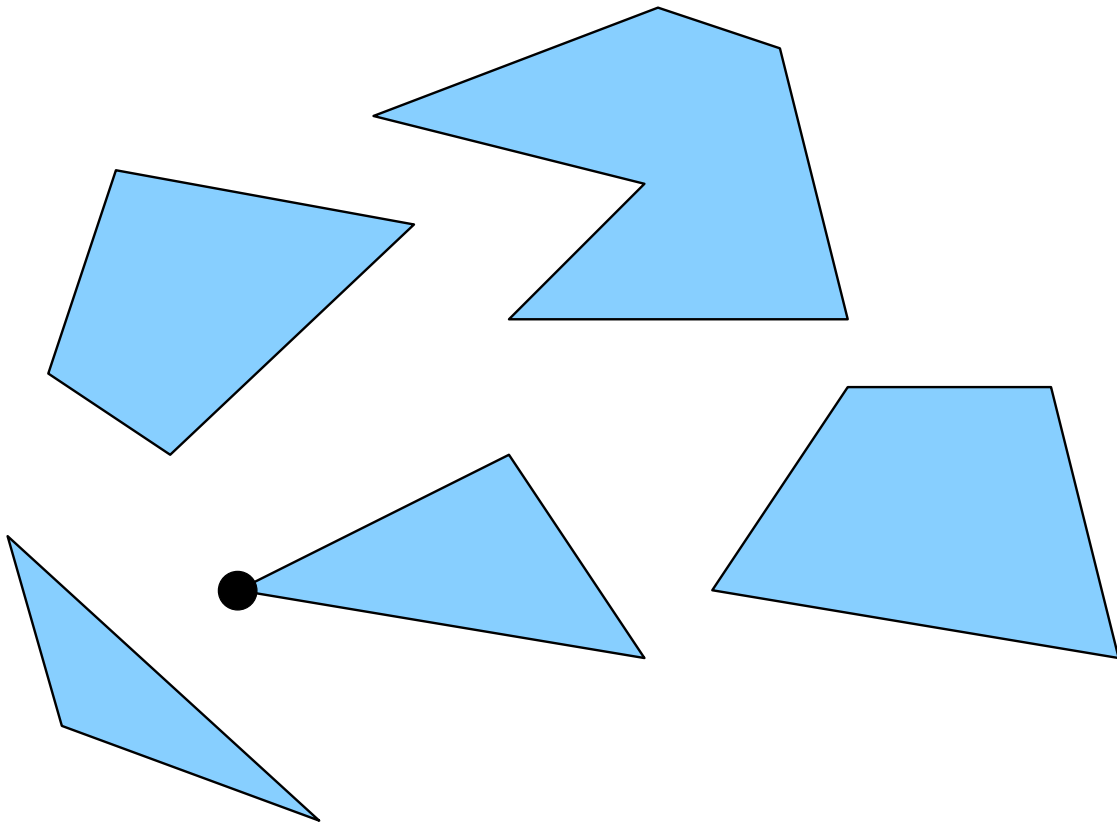


Sichtbarkeit von Ecken

Algorithmus *sichtbar*

```
1 if  $\overline{pv_i}$  schneidet das Polygon von  $v_i$  lokal  
   bei  $v_i$   
2   then return false  
  
3 if  $i = 1$  or  $v_{i-1} \notin \overline{pv_i}$   
4   then  $e \leftarrow$  linkeste Kante in  $\mathcal{T}$   
5     if  $e$  existiert nicht or  
        $v_i$  auf oder links von  $e$   
6     then return true  
7     else return false  
  
   /*  $i \neq 1$  and  $v_{i-1} \in \overline{pv_i}$  */  
8 if  $v_{i-1}$  ist nicht sichtbar  
9   then return false  
  
   /*  $v_{i-1}$  ist sichtbar */  
10 Suche Kante  $e$  in  $\mathcal{T}$ , die  $\overline{v_{i-1}v_i}$  schneidet  
11 if  $e$  existiert  
12   then return false  
13   else return true
```

Beispiel



Analyse von SichtbareEcken

Sortieren:

Aufbau von \mathcal{T} :

sichtbar(v_i):

Update von \mathcal{T} :

Satz

Der **Sichtbarkeitsgraph** einer Menge \mathcal{H} von disjunkten polygonalen Hindernissen mit n Kanten kann in Zeit $O(n^2 \log n)$ berechnet werden.

4 Kürzeste Wege für polygonale Roboter

Vorlesung Bewegungsplanung:

Translatorisches Bewegungsplanungproblem für **polygonalen Roboter** \mathcal{R} zwischen Hindernissen $\{\mathcal{P}_1, \dots, \mathcal{P}_t\}$

entspricht

Bewegungsplanungsproblem für **Punktroboter** zwischen Hindernissen

$$\{-\mathcal{R} \oplus \mathcal{P}_1, \dots, -\mathcal{R} \oplus \mathcal{P}_t\}.$$

Analyse

Berechnung von \mathcal{C}_{free} :

Komplexität von \mathcal{C}_{free} :

Berechnung des Sichtbarkeitsgraphen von \mathcal{C}_{free} :

Satz

Sei \mathcal{R} ein **konvexer Roboter** mit **konstant** vielen Kanten, der translatorische Bewegungen zwischen einer Menge \mathcal{H} von disjunkten Hindernissen mit insgesamt n Kanten ausführt.

Dann kann ein kürzester kollisionsfreier Weg von einer Startposition zu einer Endposition in Zeit $O(n^2 \log n)$ berechnet werden.